

Fig. 1 (Prior Art)

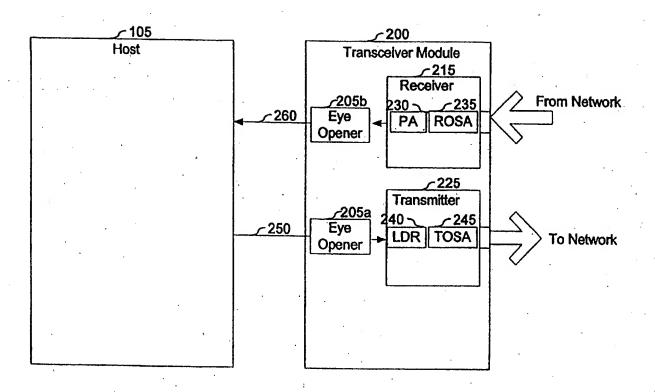
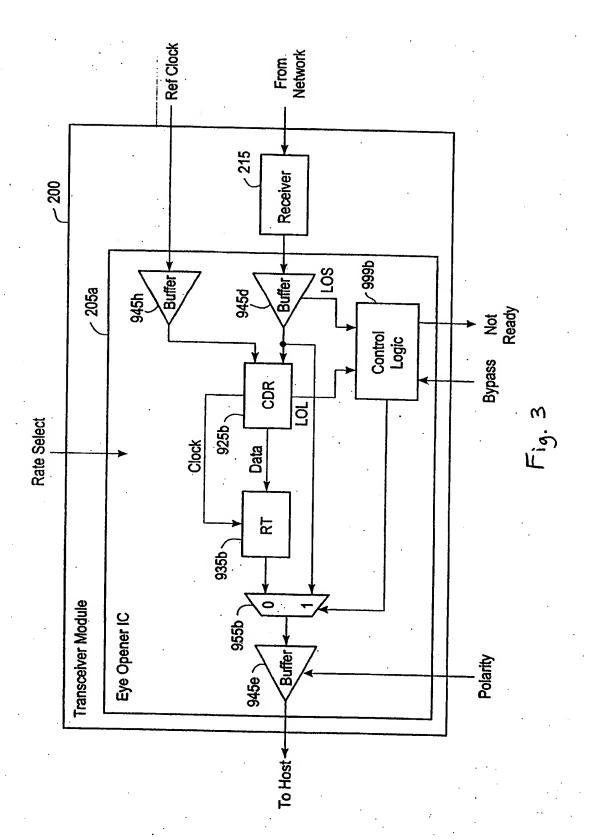
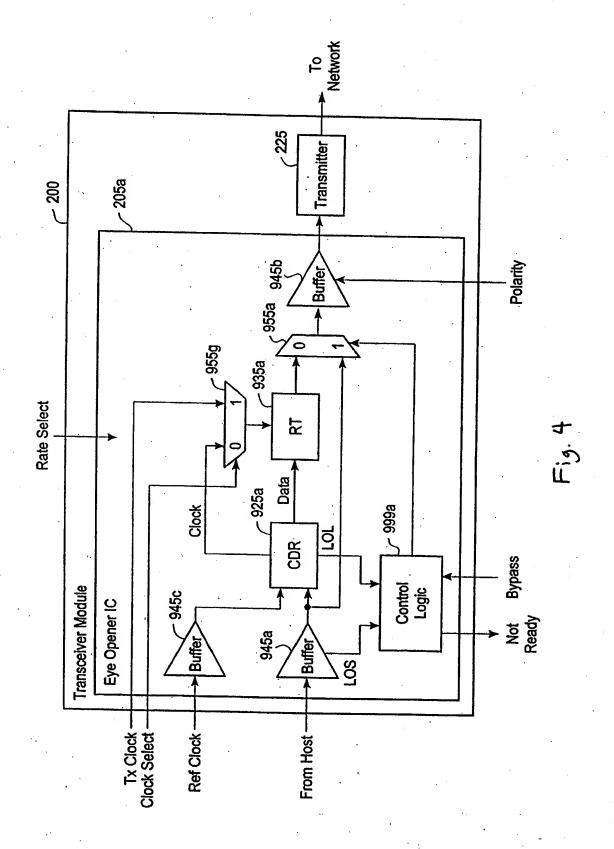


Fig. 2





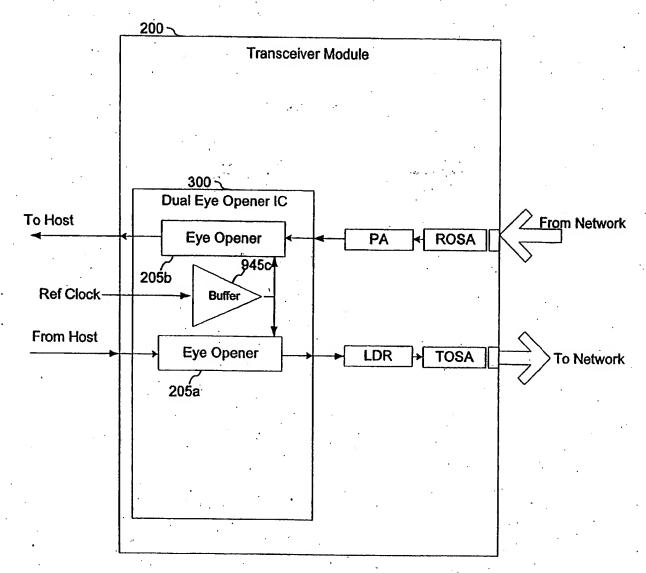


Fig. 5

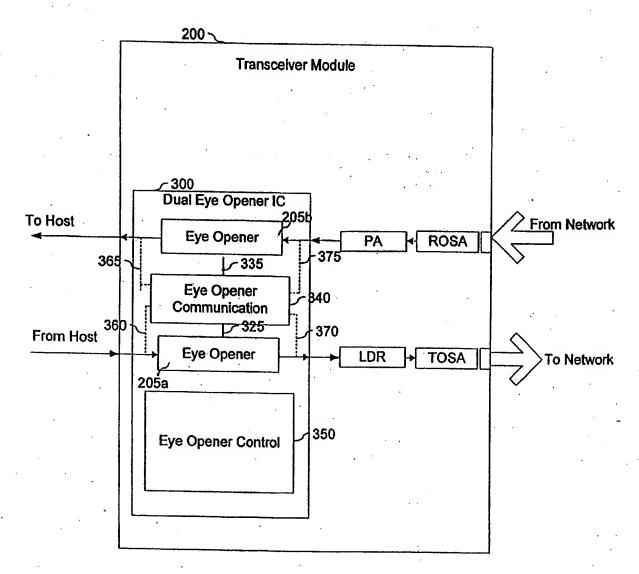
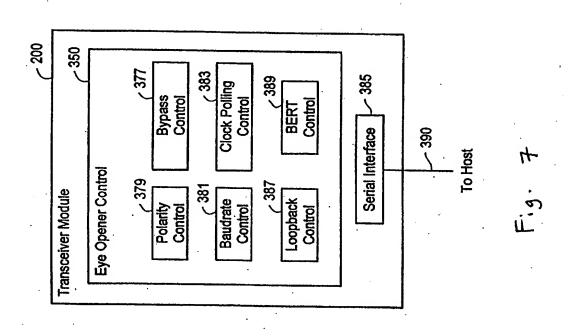
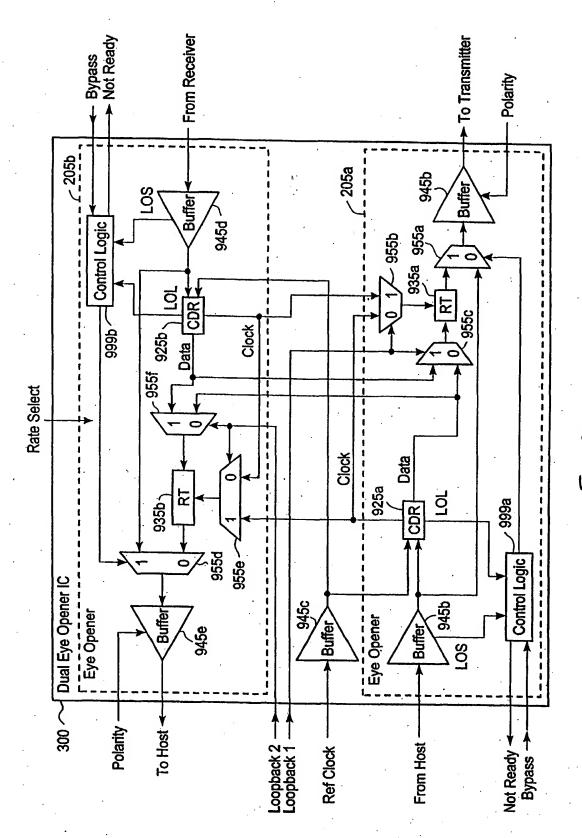
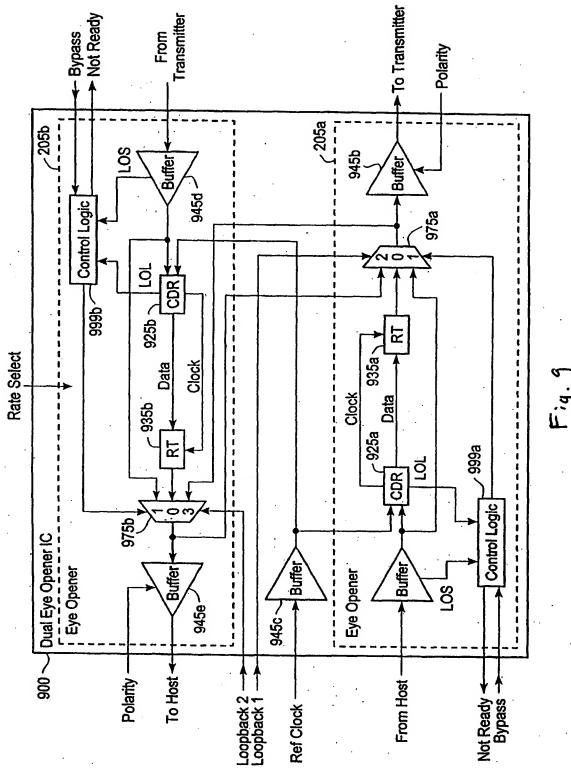


Fig. 6





T 14.8



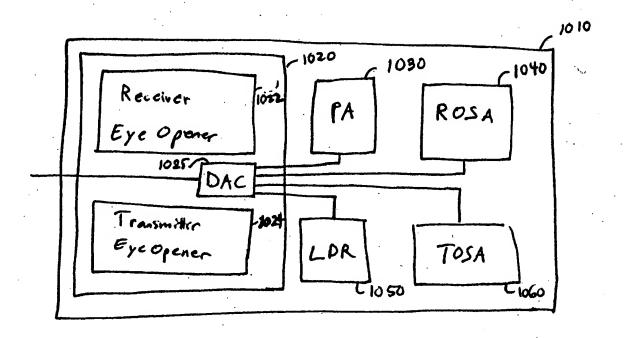


Fig. 10

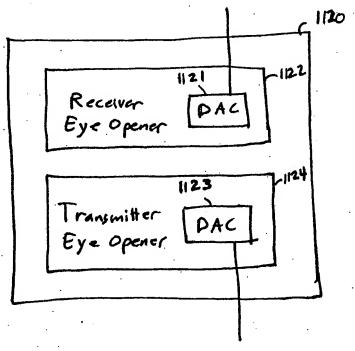


Fig.11

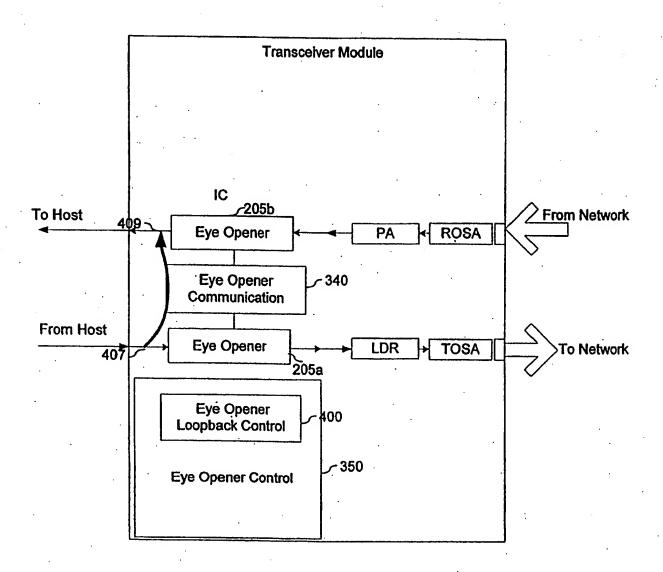


Fig. 12A

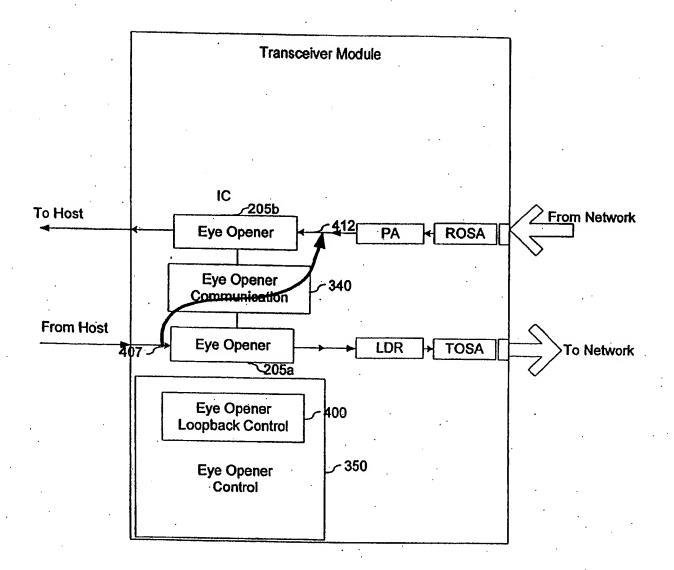


Fig. 12B

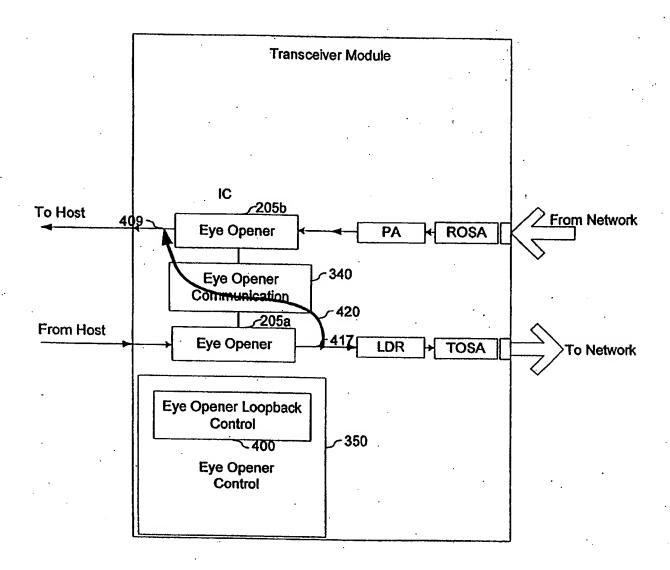


Fig. 12C

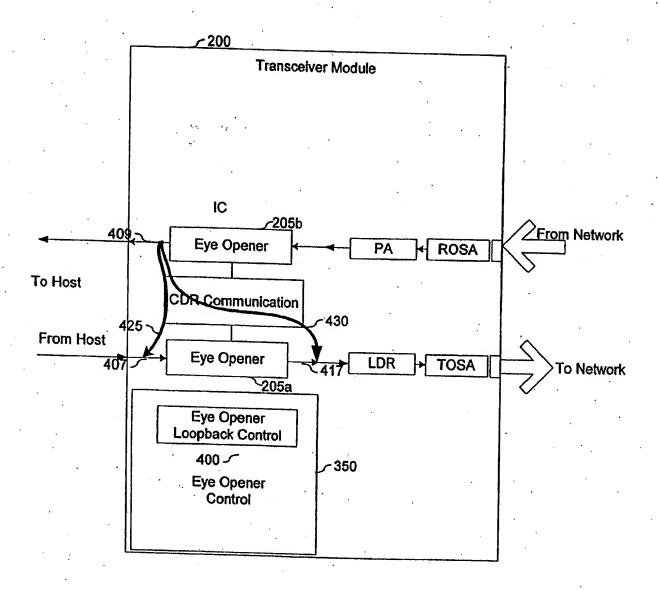
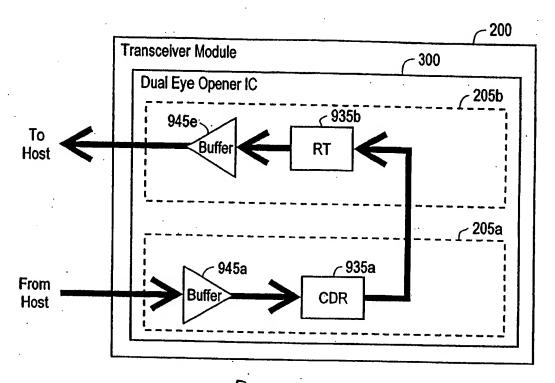


Fig. 12 D



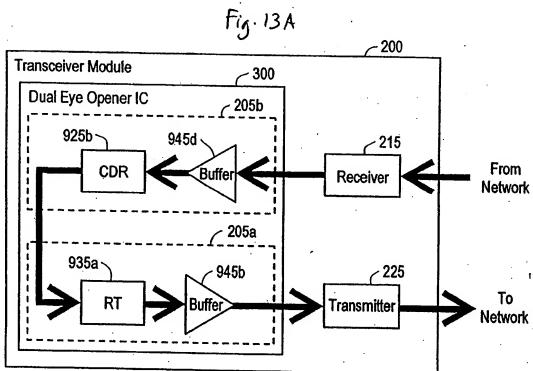


Fig. 13 B

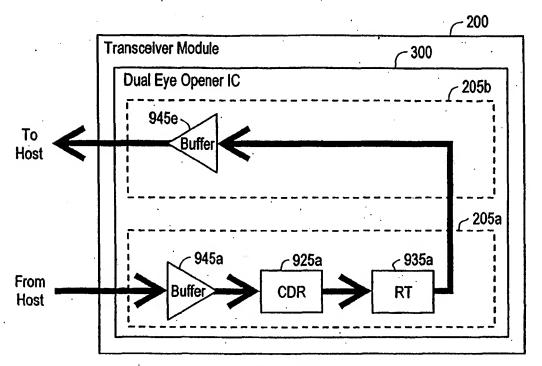


Fig. 13C

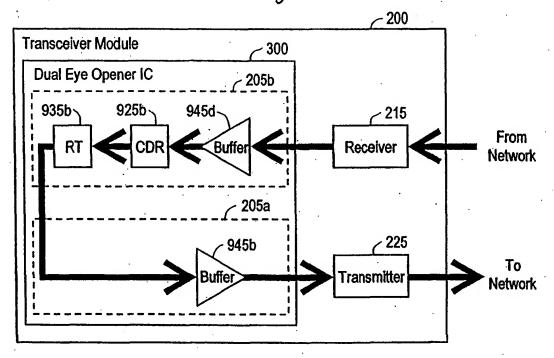


Fig 13 D

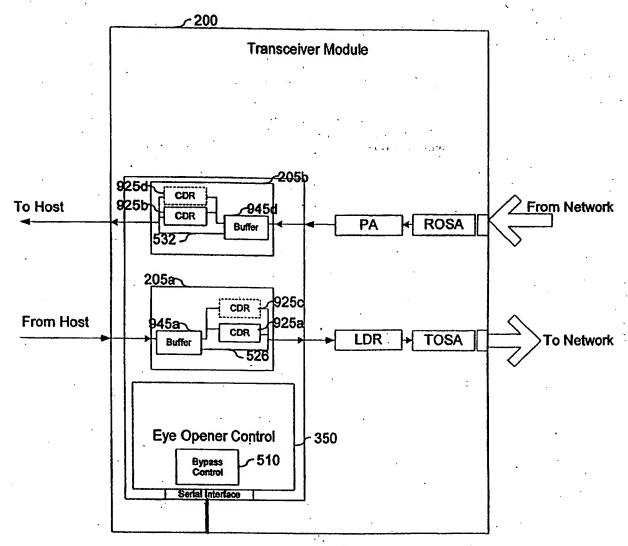


Fig. 14

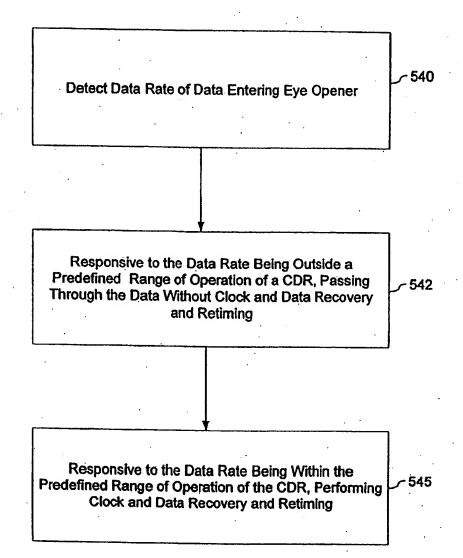


Fig. 15

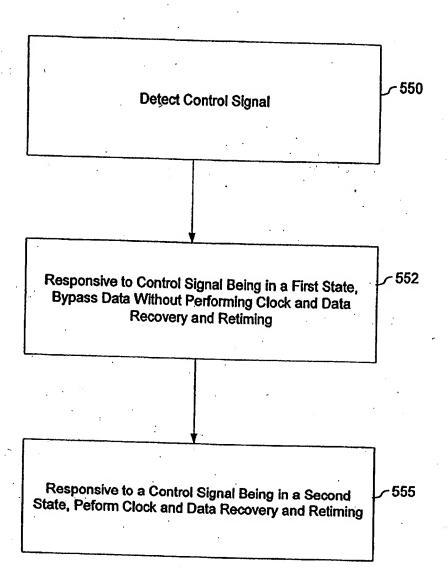
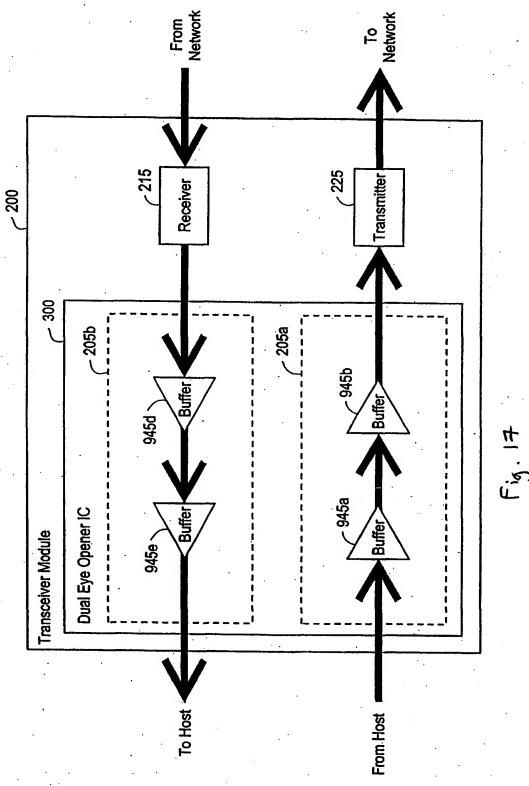


Fig. 16



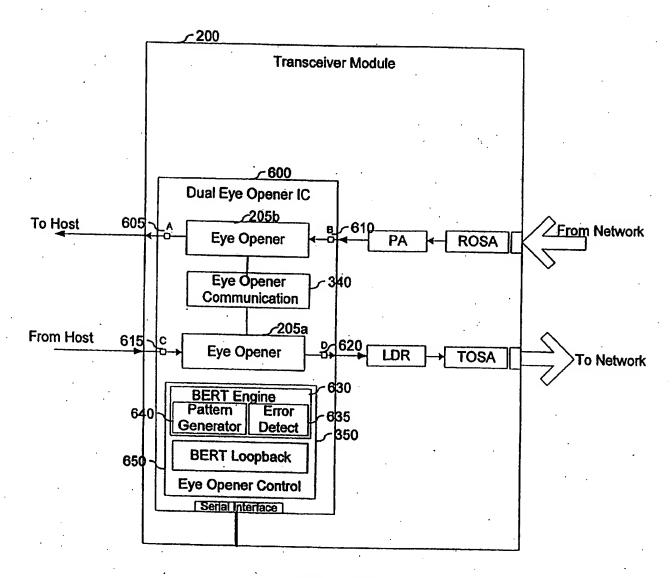
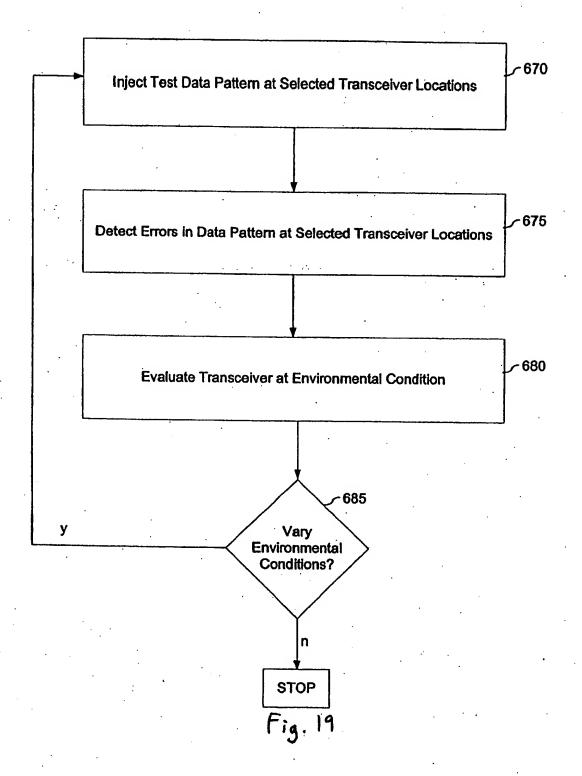


Fig. 18



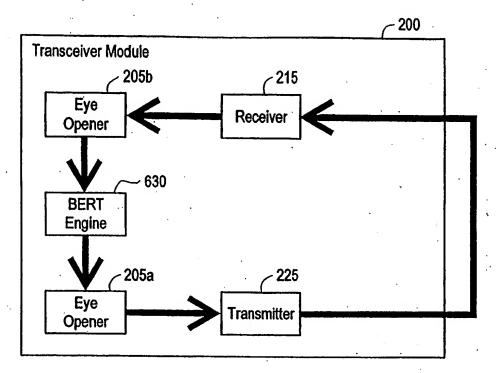


Fig. 20A

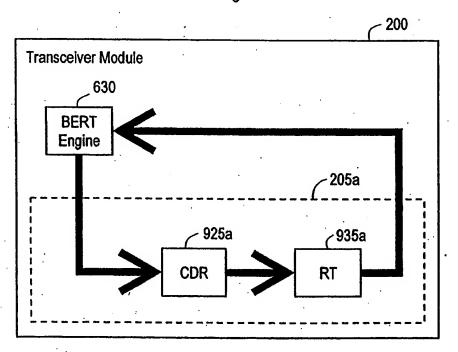
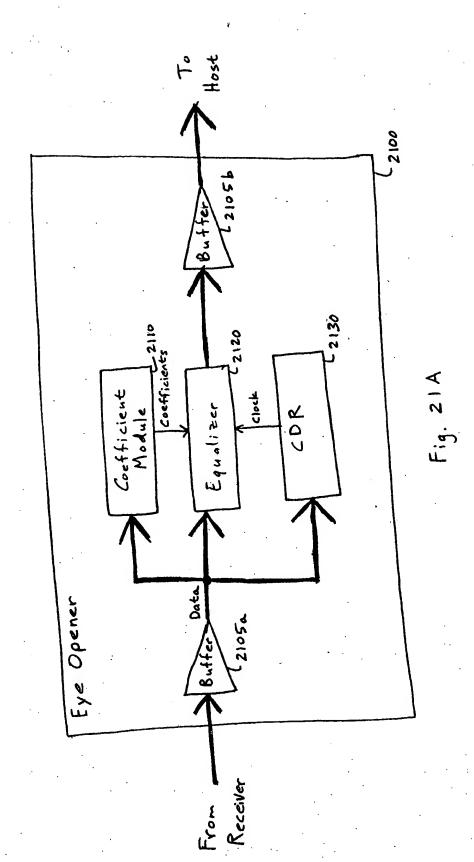


Fig. 20B



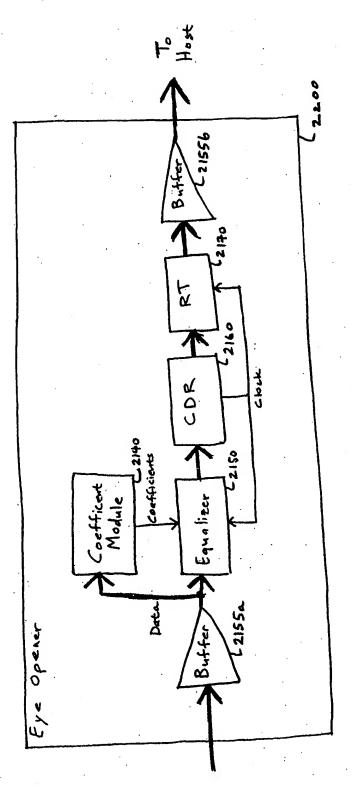
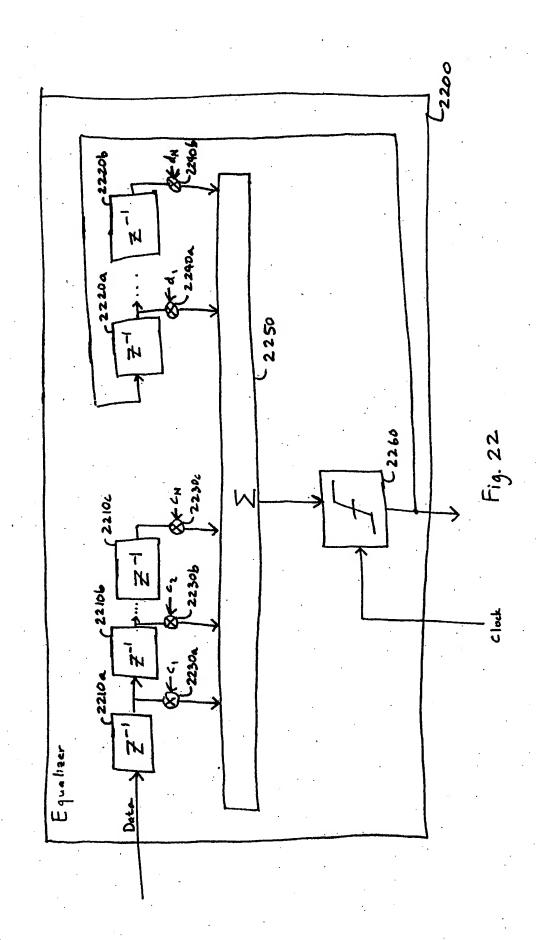


Fig. 21B



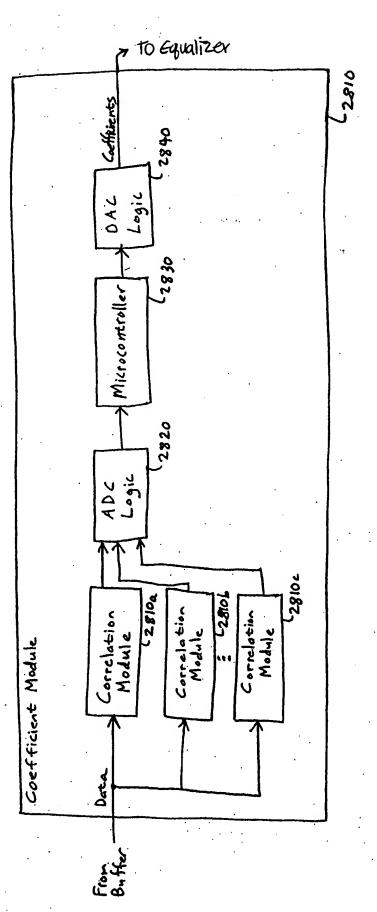


Fig. 23

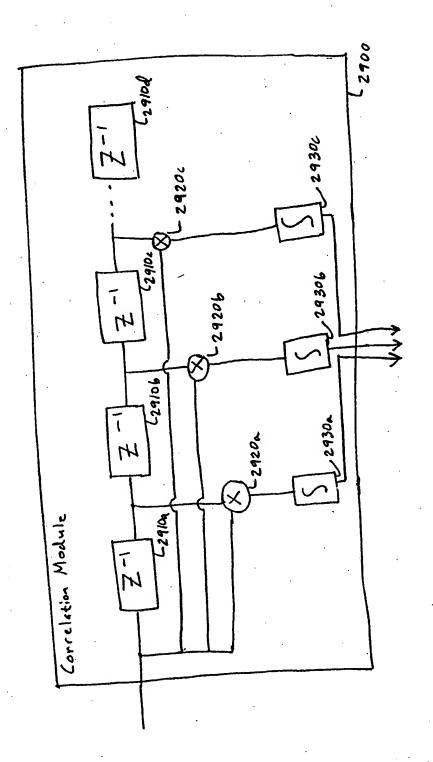


Fig. 24

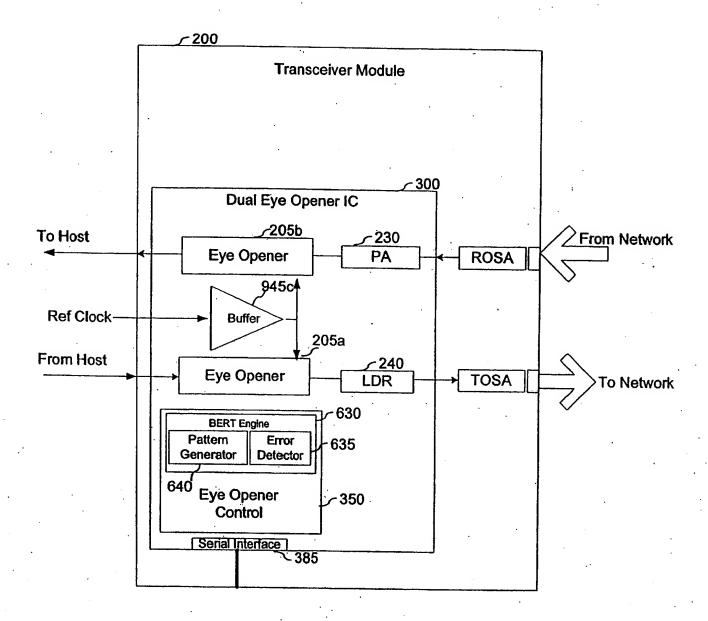


Fig. 25

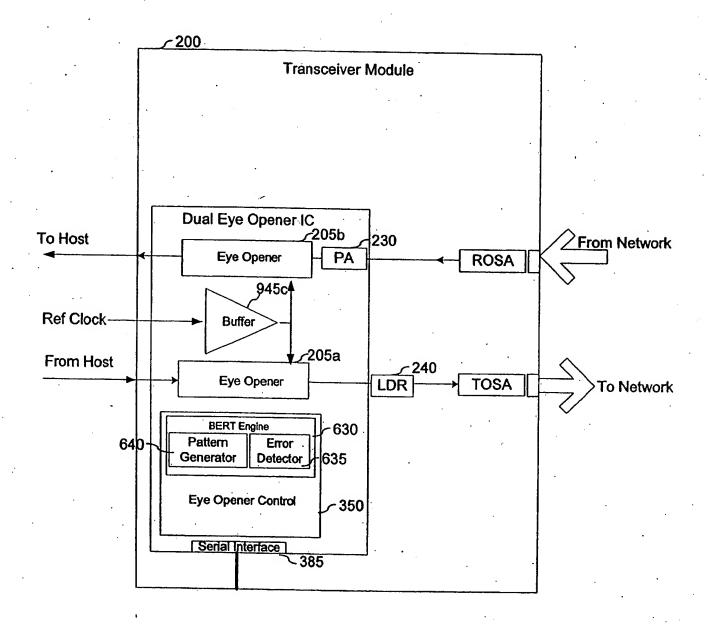


Fig. 26

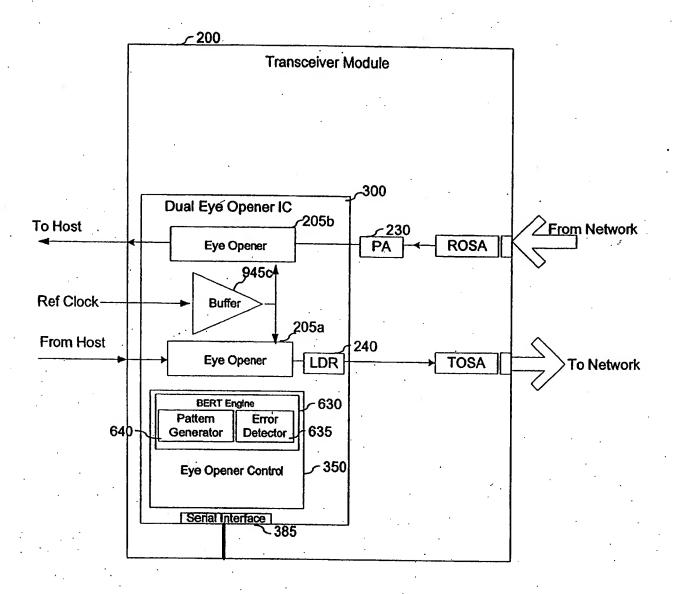


Fig. 27

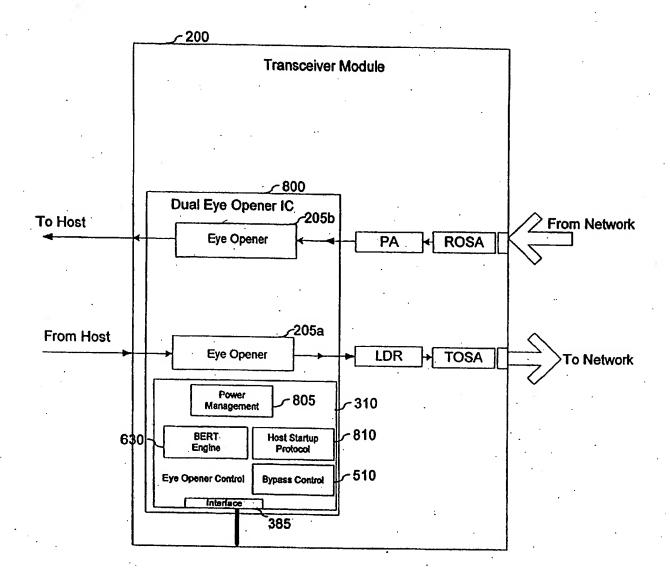


Fig. 28

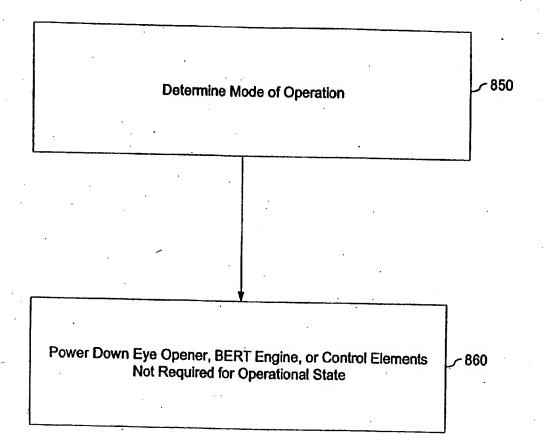


Fig. 29